

тигнутая в экспериментах точность позволяет утверждать, что вероятность распада по каналу  $\mu^+ \rightarrow e^+ v_e \bar{v}_\mu$  (если он существует) составляет во всяком случае менее 5% от вероятности распада по каналу (1). Все наблюдаемые характеристики распада М. (1) [спектр электронов (позитронов), асимметрия их вылета относительно направления спина М. и её энергетич. зависимость, продольная и поперечная поляризация электронов (позитронов)] полностью согласуются с ( $V - A$ )-вариантом слабого взаимодействия *заряженных токов* ( $v_{\mu\mu}$ ) и ( $v_{ee}$ ). Полная вероятность ( $\Gamma_0$ ) распада М. по каналу (1) в единицу времени, равная обратному времени жизни М. в вакууме  $\tau_\mu$ , определяется (в единицах  $\hbar = c = 1$ ) выражением

$$\Gamma_0 = \frac{1}{\tau_\mu} = \frac{G_F^2 m_\mu^5}{196 \pi^5}, \quad (2)$$

где  $G_F$  — константа универсального ( $V - A$ )-взаимодействия (константа Ферми), а  $\tau_\mu = 2,19709(5) \cdot 10^{-6}$  с. Распад М. (1) с участием одних только лептонов даёт уникальную возможность наиб. точного эксперим. нахождения константы Ферми. Сравнение константы Ферми, определённой из распада М., с константами полуlepтонных распадов с изменением и без изменения *странности* позволяет найти углы смешивания кварков (в частности, *Кабббо угол*). Величина  $G_F$  была использована также для предсказания масс промежуточных векторных бозонов  $W^\pm$ ,  $Z^0$ . Для определения  $G_F$  с точностью лучшеей, чем 1%, необходимо учитывать радиационные поправки к процессу (1) за счёт виртуальных фотонов.

Для полностью поляризованного М. ( $\bar{P} = 1$ ) без учёта радиц. поправок

$$\frac{d^2\Gamma}{d\Omega d\varepsilon} = \frac{\Gamma_0}{2\pi} \{ (3 - 2\varepsilon) \pm \cos\theta(2\varepsilon - 1) \} \varepsilon^2. \quad (3)$$

Спектр электронов (позитронов) получается из (3) интегрированием по телесному углу  $d\Omega$  и имеет вид

$$\frac{d\Gamma}{d\varepsilon} = 2\Gamma_0(3 - 2\varepsilon)\varepsilon^2. \quad (4)$$

(В общем случае произвольного четырёхфермионного взаимодействия этот спектр характеризуется т. н. параметром Мишеля  $p$ .) Наиб. вероятным оказывается вылет электронов (позитронов) с максимально возможными значениями импульса (рис. 1).

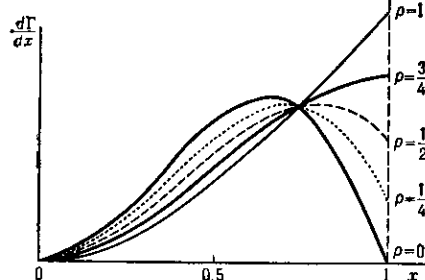


Рис. 1. Энергетический спектр электронов (позитронов)  $\mu \rightarrow e$ -распада.

Асимметрия вылета  $e^- (e^+)$  относительно спина М., согласно (3), зависит от их энергии. В области высоких энергий ( $\varepsilon \sim 1$ ) угл. распределение определяется фактором  $(1 \pm \cos\theta)$ , в то время как для низких энергий ( $\varepsilon \ll 1$ ) с фактором  $(1 \pm \frac{1}{3}\cos\theta)$ . Т. о., асимметрия имеет разный знак для высоко- и низкоэнергетич. областей спектра. Усреднение (3) по спектру даёт:

$$\frac{d\Gamma}{d\varepsilon} = \frac{\Gamma_0}{4\pi} (1 \pm \frac{1}{3}\cos\theta). \quad (5)$$

Знак усреднённой по спектру асимметрии совпадает со знаком асимметрии в высокозергетич. области спектра, т. к. в ней содержится большая доля электронов (позитронов). Указанные закономерности качественно объясняются учётом спиральностей частиц в распаде (1). Макс. энергии  $e^- (e^+)$  отвечает кинематика распада (1), когда оба нейтрино образуются с одинаковыми и параллельными импульсами. В этом случае их суммарный спин равен нулю, и из сохранения момента следует, что электрон, имеющий отрицат. спиральность, должен в осн. вылетать в направлении, противоположном спину  $\mu^+$ , а позитрон, имеющий положит. спиральность, — в направлении спина  $\mu^+$  (рис. 2, а, б). Если энергия  $e^- (e^+)$  много меньше энергии  $\mu$ -распада,

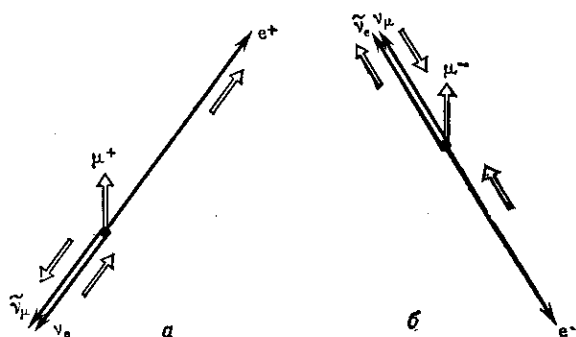


Рис. 2. Схематическое изображение распада  $\mu^+$  (а) и  $\mu^-$  (б) для энергии электронов (позитронов) вблизи верхней границы спектра; тонкие стрелки — направление импульсов частиц; двойные — направление их спинов.

то нейтрино должны двигаться с приблизительно равными и противоположно направленными импульсами. В этом случае их суммарный спин равен 1 и направлен вдоль импульса  $v_\mu$  в распаде  $\mu^+$  и против импульса  $v_\mu$  в распаде  $\mu^-$ . Сохранение момента требует в этой ситуации, чтобы импульс  $e^+$  был преим. направлен против спина  $\mu^+$ , а импульс  $e^-$  — вдоль спина  $\mu^-$  (рис. 3, а, б).

Рис. 2 и 3 наглядно демонстрируют нарушения зеркальной ( $P$ ) и зарядовой ( $C$ ) симметрий в процессах  $\mu^\pm$ -распадов. О первом свидетельствует наличие асим-

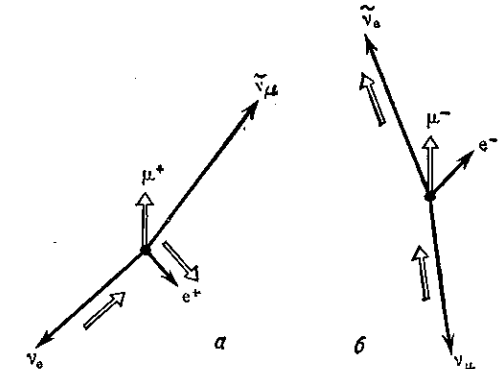


Рис. 3. То же, что на рис. 2, вблизи нижней границы спектра  $e^+$  (а) и  $e^-$  (б).

метрии вылета электрона (позитрона) относительно плоскости, перпендикулярной спину М., а о втором — разл. знак этой асимметрии в распадах  $\mu^+$  и  $\mu^-$ . Вместе с тем очевидно выполнение комбинированной ( $CP$ ) симметрии: распад  $\mu^-$  выглядит как отражённый в зеркале распад  $\mu^+$  (при отражении в плоскости, перпендикулярной спину, его направление не меняется, а перпендикулярная плоскости компонента импульса меняется на противоположную).

Существование асимметрии вылета позитронов относительно спина М. в  $\mu^+ \rightarrow e^+$ -распаде позволяет по измерениям угл. распределения электронов определить поляризацию М., и её изменение со временем, происходящее, напр., в результате прецессии спина М. во внеш-